

SÜLLYESZTETT FEJŰ ÉS HATLAPFEJŰ, TELJESEN MENETES KÖTŐELEM

3 THORNS HEGY

A 3 THORNS hegynek köszönhetően a minimális telepítési távolságok csökkentek. Több csavar használható kisebb helyen, és nagyobb csavarok kisebb elemekben.

A költségek alacsonyabbak és a terv kivitelezési ideje rövidebb.

TANÚSÍTVÁNY FÁHOZ ÉS BETONHOZ

Szerkezeti kötőelem, jóváhagyva a faanyagban való alkalmazáshoz az ETA-11/0030 szerint és a fa-beton anyagban való alkalmazáshoz az ETA-22/0806 szerint.

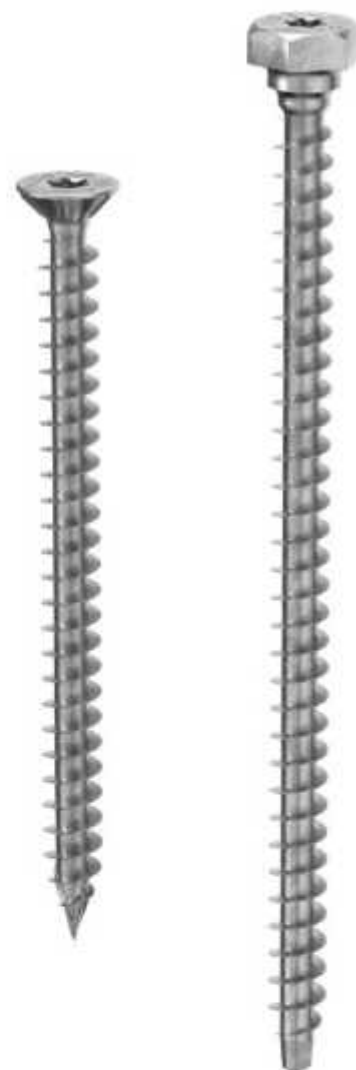
HÚZÓSZILÁRDSÁG

Mély menet és nagy ellenállású acél a kiváló húzási vagy csúszási ellenállási teljesítményhez. Tanúsítva szerkezeti alkalmazásokhoz, bármilyen rostirányban (0°- 90°).

Lehetőség van acél lemezekben történő használatra VGU és HUS alátéttel kombinálva.

SÜLLYESZTETT ÉS HATSZÖGLETŰ FEJ

Akár L = 600 mm - ig süllyesztett fej, ideális lemezekben történő alkalmazáshoz, illetve eltűnő erősítésekhez. Hatszögletű fej L > 600 mm - től a csavarbehajtóval történő becsavarás megkönnyítésére.



BIT INCLUDED

ÁTMÉRŐ [mm]	9 (9) 15 (15)
HOSSZÚSÁG [mm]	80 (80) 2000 (2000)
FELHASZNÁLÁSI OSZTÁLY	SC1 SC2
LÉGKÖRI KORROZIÓOSZTÁLY	C1 C2
FAANYAG KORROZIÓOSZTÁLYA	T1 T2
ANYAG	Zn galvanikusan horganyzott szénacél ELECTRO PLATED

METAL-to-TIMBER recommended use:



ALKALMAZÁSI TERÜLETEK

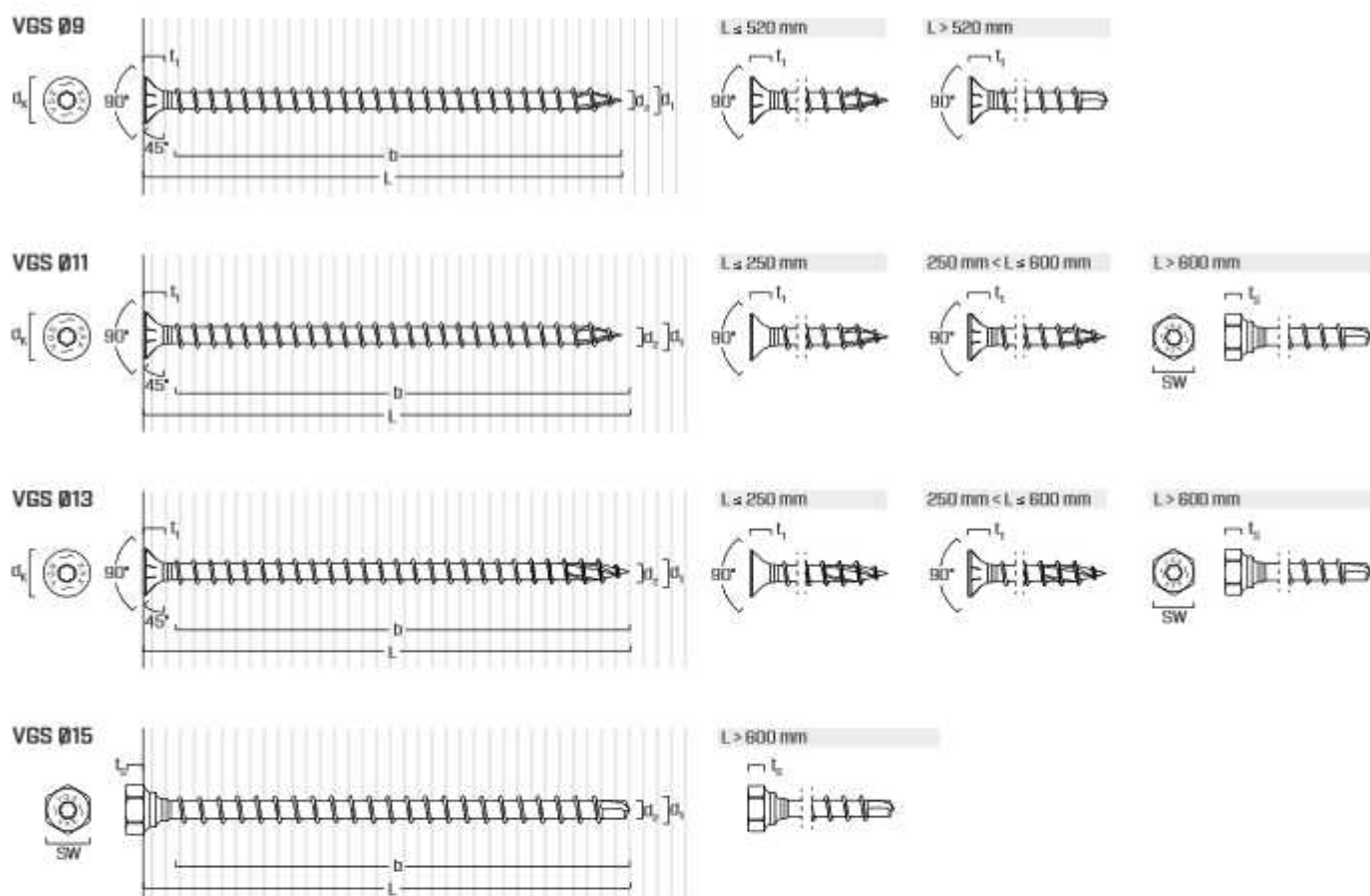
- faalapú panelek
- tömör fa
- laminált fa
- CLT és LVL
- nagy sűrűségű fák



TC FUSION

A TC FUSION rendszer ETA-22/0806 tanúsítása lehetővé teszi, hogy a VGS csavarokat a betonban levő acélbetétekkel együtt lehessen használni, így a panel födémei és a merevítő mag kis mértékű öntés hozzáadásával integrálással összeköthető.

GEOMETRIA ÉS MECHANIKAI JELLEMZŐK



Névleges átmérő	d_1	[mm]	9	11	11	13	13	15
Hosszúság	L	[mm]	-	≤ 600 mm	> 600 mm	≤ 600 mm	> 600 mm	-
Súlyesztett fej átmérője	d_K	[mm]	16,00	19,30	-	22,00	-	-
Súlyesztett fej vastagsága	t_2	[mm]	6,50	8,20	-	9,40	-	-
Kulcsméret	SW	-	-	-	SW 17	-	SW 19	SW 22
Hatlapfej vastagsága	t_s	[mm]	-	-	6,40	-	7,50	8,80
Magátmérő	d_2	[mm]	5,90	6,60	6,60	8,00	8,00	9,10
Előfúrás átmérője ⁽¹⁾	$d_{V,S}$	[mm]	5,0	6,0	6,0	8,0	8,0	9,00
Előfúrás átmérője ⁽²⁾	$d_{V,H}$	[mm]	6,0	7,0	7,0	9,0	9,0	10,00
Jellemző húzószilárdság	$f_{tens,k}$	[kN]	25,4	38,0	38,0	53,0	53,0	65,0
Jellemző anyagkifáradási nyomaték	$M_{y,k}$	[Nm]	27,2	45,9	45,9	70,9	70,9	95,0
Jellemző kifáradási ellenállás	$f_{y,k}$	[N/mm ²]	1000	1000	1000	1000	1000	1000

⁽¹⁾ Előfúrás érvényes puhafa (softwood) anyagra.

⁽²⁾ Előfúrás érvényes keményfához (hardwood) és bükk LVL-hez.

A VGS Ø15 mechanikai paramétereit analitikai módszerrel kaptuk és kísérleti vizsgálatokkal validáltuk.

		puhafa (softwood)	puhafa LVL (LVL softwood)	előfúrt bükk LVL (Beech LVL predrilled)	
Kihúzási ellenállás jellemző paramétere	$f_{ax,k}$	[N/mm ²]	11,7	15,0	29,0
Kapcsolt sűrűség	ρ_a	[kg/m ³]	350	500	730
Számítási sűrűség	ρ_k	[kg/m ³]	≤ 440	410 ÷ 550	590 ÷ 750

Más anyagokkal való használat esetén lásd az ETA-11/0030 szabványt.

TC FUSION RENDSZER FA-BETON ALKALMAZÁSHOZ

Névleges átmérő	d_1	[mm]	9	11	13	15
Tapadási nyírószilárdság C25/30 betonban	$f_{b,k}$	[N/mm ²]	12,5	12,5	12,5	-

Más anyagokkal való használat esetén lásd az ETA-22/0806 szabványt.

KÓDOK ÉS MÉRETEK

d ₁ [mm]	KÓD	L [mm]	b [mm]	db.
9 TX40	VGS9100	100	90	25
	VGS9120	120	110	25
	VGS9140	140	130	25
	VGS9160	160	150	25
	VGS9180	180	170	25
	VGS9200	200	190	25
	VGS9220	220	210	25
	VGS9240	240	230	25
	VGS9260	260	250	25
	VGS9280	280	270	25
	VGS9300	300	290	25
	VGS9320	320	310	25
	VGS9340	340	330	25
	VGS9360	360	350	25
	VGS9380	380	370	25
	VGS9400	400	390	25
	VGS9440	440	430	25
	VGS9480	480	470	25
	VGS9520	520	510	25
	VGS9560	560	550	25
VGS9600	600	590	25	
11 TX 50	VGS1180	80	70	25
	VGS11100	100	90	25
	VGS11125	125	115	25
	VGS11150	150	140	25
	VGS11175	175	165	25
	VGS11200	200	190	25
	VGS11225	225	215	25
	VGS11250	250	240	25
	VGS11275	275	265	25
	VGS11300	300	290	25
	VGS11325	325	315	25
	VGS11350	350	340	25
	VGS11375	375	365	25
	VGS11400	400	390	25
	VGS11425	425	415	25
	VGS11450	450	440	25
	VGS11475	475	465	25
	VGS11500	500	490	25
VGS11525	525	515	25	
VGS11550	550	540	25	
VGS11575	575	565	25	
VGS11600	600	590	25	
VGS11650	650	630	25	
VGS11700	700	680	25	
VGS11750	750	680	25	
VGS11800	800	780	25	
VGS11850	850	830	25	
VGS11900	900	880	25	
VGS11950	950	930	25	
VGS111000	1000	980	25	

d ₁ [mm]	KÓD	L [mm]	b [mm]	db.
13 TX 50	VGS1380	80	70	25
	VGS13100	100	90	25
	VGS13150	150	140	25
	VGS13200	200	190	25
	VGS13250	250	240	25
	VGS13300	300	280	25
	VGS13350	350	330	25
	VGS13400	400	380	25
	VGS13450	450	430	25
	VGS13500	500	480	25
VGS13550	550	530	25	
VGS13600	600	580	25	
VGS13650	650	630	25	
VGS13700	700	680	25	
VGS13750	750	730	25	
VGS13800	800	780	25	
VGS13850	850	830	25	
VGS13900	900	880	25	
VGS13950	950	930	25	
VGS131000	1000	980	25	
VGS131100	1100	1080	25	
VGS131200	1200	1180	25	
VGS131300	1300	1280	25	
VGS131400	1400	1380	25	
VGS131500	1500	1480	25	
VGS15600	600	580	25	
VGS15700	700	680	25	
VGS15800	800	780	25	
VGS15900	900	880	25	
VGS151000	1000	980	25	
VGS151200	1200	1180	25	
VGS151400	1400	1380	25	
VGS151600	1600	1580	25	
VGS151800	1800	1780	25	
VGS152000	2000	1980	25	

KAPCSOLÓDÓ TERMÉKEK



VGU

ALÁTÉT 45° VGS - HEZ

old. 190



TORQUE LIMITER

NYOMATÉKHATÁROLÓ

old. 408



WASP

KAMPÓ FA ELEMÉK
SZÁLLÍTÁSÁHOZ

old. 413

MINIMÁLIS TÁVOLSÁGOK TENGELYIRÁNYBAN TERHELT CSAVAROKNÁL

csavarok ELŐFŰRÁSSAL ÉS ELŐFŰRÁS nélkül becsavarva

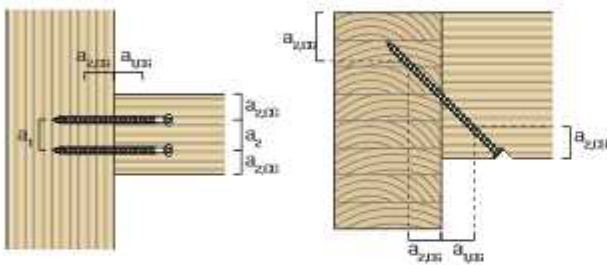


d_1 [mm]		9	11
a_1 [mm]	5-d	45	55
a_2 [mm]	5-d	45	55
$a_{2,LJM}$ [mm]	2,5-d	23	28
$a_{1,CG}$ [mm]	8-d	72	88
$a_{2,CG}$ [mm]	3-d	27	33
a_{CROSS} [mm]	1,5-d	14	17

d_1 [mm]		13
a_1 [mm]	5-d	65
a_2 [mm]	5-d	65
$a_{2,LJM}$ [mm]	2,5-d	33
$a_{1,CG}$ [mm]	8-d	104
$a_{2,CG}$ [mm]	3-d	39
a_{CROSS} [mm]	1,5-d	20

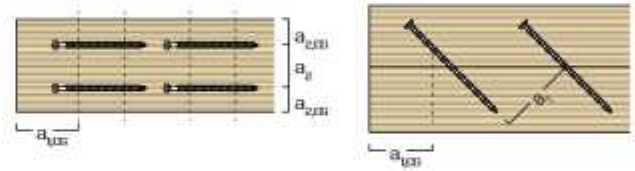
d_1 [mm]		9	11	13	15
a_1 [mm]	5-d	45	55	65	75
a_2 [mm]	5-d	45	55	65	75
$a_{2,LJM}$ [mm]	2,5-d	23	28	33	38
$a_{1,CG}$ [mm]	5-d	45	55	65	150
$a_{2,CG}$ [mm]	3-d	27	33	39	60
a_{CROSS} [mm]	1,5-d	14	17	20	23

CSAVAROK HÚZÁSBAN α SZÖGET BEZÁRVA A ROSTIRÁNYRA



felülnézeti ábra

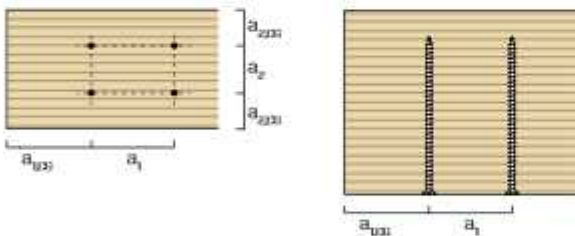
perspektivikus ábra



felülnézeti ábra

perspektivikus ábra

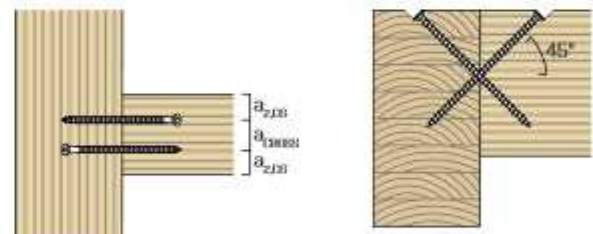
CSAVAROK ROSTIRÁNYRA $\alpha = 90^\circ$ - OS SZÖGBEN BEHELYEZVE



felülnézeti ábra

perspektivikus ábra

KERESZTEZETT CSAVAROK α SZÖGBEN BEHELYEZVE A ROSTOKHOZ KÉPEST



felülnézeti ábra

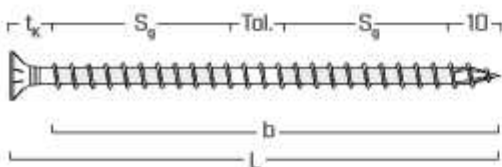
perspektivikus ábra

MEGJEGYZÉS

- A minimális távolságok az ETA-11/0030-nak megfelelően vannak megadva.
- A minimális távolságok nem függenek a kötőelem beillesztési szögétől és az erőnek a rosttal bezárt szögétől.
- Az a_2 tengelytávolság csökkenthető $a_{2,LJM}$ -értékre, ha minden kötőelemnél betartja az $a_1 \cdot a_2 = 25 \cdot d_1^2$ „kötési síkot”.

- A 3 THORNS, RBSN és self-drilling hegyű csavarok esetében a táblázatban megadott minimális távolságok kísérleti próbák eredményei, alternatív megoldásként alkalmazza az $a_{1,CG} = 10 \cdot d$ és az $a_{2,CG} = 4 \cdot d$ értékeket, az EN 1995:2014 szerint.

HATÉKONY MENET SZÁMÍTÁS



$$b = S_{g,tot} = L - t_k$$

$$S_g = (L - t_k - 10 \text{ mm} - Tol) / 2$$

$$t_k = 10 \text{ mm (süllyesztett fej)}$$

$$t_k = 20 \text{ mm (hatszögletű fej)}$$

10 mm a menetes rész teljes hossza

jelent a menetes rész fél hosszát 10 mm elhelyezés nettó tűrésnél (Tol)

NYÍRÓ IGÉNYBEVÉTELNEK KITETT CSAVAROK MINIMUM TÁVOLSÁGA

csavarok ELŐFŰRÁS NÉLKÜL becsavarva

$\rho_k \leq 420 \text{ kg/m}^3$



d_1 [mm]	9	11	13	15	
a_1 [mm]	10-d	90	110	130	150
a_2 [mm]	5-d	45	55	65	75
$a_{3,t}$ [mm]	15-d	135	165	195	225
$a_{3,c}$ [mm]	10-d	90	110	130	150
$a_{4,t}$ [mm]	5-d	45	55	65	75
$a_{4,c}$ [mm]	5-d	45	55	65	75

d_1 [mm]	9	11	13	15	
a_1 [mm]	5-d	45	55	65	75
a_2 [mm]	5-d	45	55	65	75
$a_{3,t}$ [mm]	10-d	90	110	130	150
$a_{3,c}$ [mm]	10-d	90	110	130	150
$a_{4,t}$ [mm]	10-d	90	110	130	150
$a_{4,c}$ [mm]	5-d	45	55	65	75

csavarok ELŐFŰRÁSSAL becsavarva



d_1 [mm]	9	11	13	15	
a_1 [mm]	5-d	45	55	65	75
a_2 [mm]	3-d	27	33	39	45
$a_{3,t}$ [mm]	12-d	108	132	156	180
$a_{3,c}$ [mm]	7-d	63	77	91	105
$a_{4,t}$ [mm]	3-d	27	33	39	45
$a_{4,c}$ [mm]	3-d	27	33	39	45

d_1 [mm]	9	11	13	15	
a_1 [mm]	4-d	36	44	52	60
a_2 [mm]	4-d	36	44	52	60
$a_{3,t}$ [mm]	7-d	63	77	91	105
$a_{3,c}$ [mm]	7-d	63	77	91	105
$a_{4,t}$ [mm]	7-d	63	77	91	105
$a_{4,c}$ [mm]	3-d	27	33	39	45

α = erő és rost közötti szög

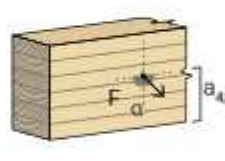
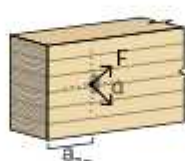
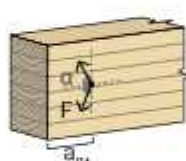
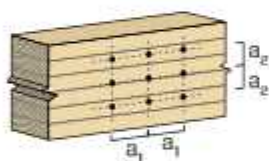
$d = d_1$ = csavar névleges átmérő

terhelt végpont
 $-90^\circ < \alpha < 90^\circ$

tehermentesített végpont
 $90^\circ < \alpha < 270^\circ$

terhelt perem
 $0^\circ < \alpha < 180^\circ$

tehermentesített perem
 $180^\circ < \alpha < 360^\circ$



MEGJEGYZÉS

- A minimum távolságok EN 1995:2014 szerint ETA-11/0030 - nak megfelelően, a faelemek $\rho_k \leq 420 \text{ kg/m}^3$ sűrűségével számolva.
- Acél-fa kötésnél a minimum távolságok (a_1, a_2) megszorozhatók 0,7 együtthatóval.
- Panel-fa kötésnél a minimum távolságok (a_1, a_2) megszorozhatók 0,85 együtthatóval.

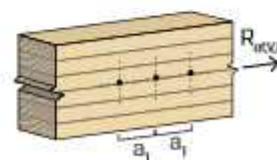
- A táblázatban megadott a_1 csavarok közötti távolság a 3 THORNS hegyű, előfúrat nélkül behelyezett csavarok esetében, amikor a faelem sűrűsége $\rho_k \leq 420 \text{ kg/m}^3$ és az erő és rost közötti szög $\alpha = 0^\circ$, a kísérleti próbák alapján feltételeztük a 10-d értéket, alternatív megoldásként alkalmazza a 12-d értéket az EN 1995:2014 szerint.

NYÍRÓ IGÉNYBEVÉTELNEK KITETT CSAVAROK HATÉKONYSÁGI SZÁMA

A több, azonos típusú és méretű csavarral készült kötés teherbíró képessége kisebb lehet, mint az egyes kötőelemek teherbíró képességének összege.

A rost irányával párhuzamosan, egymástól a_1 távolságra elhelyezett n db. csavarból álló sor esetén a jellemző hatékony teherbíró képesség:

$$R_{ef,V,k} = n_{ef} \cdot R_{V,k}$$



Az n_{ef} értéket az alábbi táblázat tartalmazza az n és az a_1 függvényében.

n		$a_1^{(*)}$										
		4-d	5-d	6-d	7-d	8-d	9-d	10-d	11-d	12-d	13-d	≥ 14 -d
2	2	1,41	1,48	1,55	1,62	1,68	1,74	1,80	1,85	1,90	1,95	2,00
	3	1,73	1,86	2,01	2,16	2,28	2,41	2,54	2,65	2,76	2,88	3,00
	4	2,00	2,19	2,41	2,64	2,83	3,03	3,25	3,42	3,61	3,80	4,00
	5	2,24	2,49	2,77	3,09	3,34	3,62	3,93	4,17	4,43	4,71	5,00

(*) Az a_1 közbenső értékeire lineárisan interpolálhatunk.

HÚZÁS / ÖSSZENYOMÁS

geometria		teljes monet kihúzás				részmenet kihúzás				acél húzóereje	instabilitás $\epsilon=90^\circ$
		$\epsilon=90^\circ$		$\epsilon=0^\circ$		$\epsilon=90^\circ$		$\epsilon=0^\circ$			
d_1 [mm]	L [mm]	$S_{g,tot}$ [mm]	A_{min} [mm]	$R_{ax,90,k}$ [kN]	$R_{ax,0,k}$ [kN]	S_g [mm]	A_{min} [mm]	$R_{ax,90,k}$ [kN]	$R_{ax,0,k}$ [kN]	$R_{tens,k}$ [kN]	$R_{kl,90,k}$ [kN]
9	100	90	110	10,23	3,07	35	55	3,98	1,19	25,40	17,25
	120	110	130	12,50	3,75	45	65	5,11	1,53		
	140	130	150	14,77	4,43	55	75	6,25	1,88		
	160	150	170	17,05	5,11	65	85	7,39	2,22		
	180	170	190	19,32	5,80	75	95	8,52	2,56		
	200	190	210	21,59	6,48	85	105	9,66	2,90		
	220	210	230	23,87	7,16	95	115	10,80	3,24		
	240	230	250	26,14	7,84	105	125	11,93	3,58		
	260	250	270	28,41	8,52	115	135	13,07	3,92		
	280	270	290	30,68	9,21	125	145	14,21	4,26		
	300	290	310	32,96	9,89	135	155	15,34	4,60		
	320	310	330	35,23	10,57	145	165	16,48	4,94		
	340	330	350	37,50	11,25	155	175	17,61	5,28		
	360	350	370	39,78	11,93	165	185	18,75	5,63		
	380	370	390	42,05	12,61	175	195	19,89	5,97		
	400	390	410	44,32	13,30	185	205	21,02	6,31		
440	430	450	48,87	14,66	205	225	23,30	6,99			
480	470	490	53,41	16,02	225	245	25,57	7,67			
520	510	530	57,96	17,39	245	265	27,84	8,35			
560	550	570	62,50	18,75	265	285	30,12	9,03			
600	590	610	67,05	20,11	285	305	32,39	9,72			
11	80	70	90	9,72	2,92	25	45	3,47	1,04	38,00	21,93
	100	90	110	12,50	3,75	35	55	4,86	1,46		
	125	115	135	15,97	4,79	48	68	6,60	1,98		
	150	140	160	19,45	5,83	60	80	8,33	2,50		
	175	165	185	22,92	6,88	73	93	10,07	3,02		
	200	190	210	26,39	7,92	85	105	11,81	3,54		
	225	215	235	29,86	8,96	98	118	13,54	4,06		
	250	240	260	33,34	10,00	110	130	15,28	4,58		
	275	265	285	36,81	11,04	123	143	17,01	5,10		
	300	290	310	40,28	12,08	135	155	18,75	5,63		
	325	315	335	43,75	13,13	148	168	20,49	6,15		
	350	340	360	47,22	14,17	160	180	22,22	6,67		
	375	365	385	50,70	15,21	173	193	23,96	7,19		
	400	390	410	54,17	16,25	185	205	25,70	7,71		
	425	415	435	57,64	17,29	198	218	27,43	8,23		
	450	440	460	61,11	18,33	210	230	29,17	8,75		
	475	465	485	64,59	19,38	223	243	30,90	9,27		
	500	490	510	68,06	20,42	235	255	32,64	9,79		
	525	515	535	71,53	21,46	248	268	34,38	10,31		
	550	540	560	75,00	22,50	260	280	36,11	10,83		
575	565	585	78,48	23,54	273	293	37,85	11,35			
600	590	610	81,95	24,58	285	305	39,59	11,88			
650	630	660	87,51	26,25	305	325	42,36	12,71			
700	680	710	94,45	28,33	330	350	45,84	13,75			
750	680	760	94,45	28,33	330	350	45,84	13,75			
800	780	810	108,34	32,50	380	400	52,78	15,83			
850	830	860	115,28	34,59	405	425	56,25	16,88			
900	880	910	122,23	36,67	430	450	59,73	17,92			
950	930	960	129,17	38,75	455	475	63,20	18,96			
1000	980	1010	136,12	40,84	480	500	66,67	20,00			

HÚZÁS / ÖSSZENYOMÁS

geometria		teljes moent kihúzás				részmenet kihúzás				acél hűzőereje	instabilitás $\epsilon=90^\circ$
		$\epsilon=90^\circ$		$\epsilon=0^\circ$		$\epsilon=90^\circ$		$\epsilon=0^\circ$			
d_1 [mm]	L [mm]	$S_{g,tot}$ [mm]	A_{min} [mm]	$R_{ax,90,k}$ [kN]	$R_{ax,0,k}$ [kN]	S_g [mm]	A_{min} [mm]	$R_{ax,90,k}$ [kN]	$R_{ax,0,k}$ [kN]	$R_{tens,k}$ [kN]	$R_{KL,90,k}$ [kN]
13	80	70	90	11,49	3,45	25	45	4,10	1,23	53,00	32,69
	100	90	110	14,77	4,43	35	55	5,75	1,72		
	150	140	160	22,98	6,89	60	80	9,85	2,95		
	200	190	210	31,19	9,36	85	105	13,95	4,19		
	250	240	260	39,40	11,82	110	130	18,06	5,42		
	300	280	310	45,96	13,79	130	150	21,34	6,40		
	350	330	360	54,17	16,25	155	175	25,44	7,63		
	400	380	410	62,38	18,71	180	200	29,55	8,86		
	450	430	460	70,58	21,18	205	225	33,65	10,10		
	500	480	510	78,79	23,64	230	250	37,75	11,33		
	550	530	560	87,00	26,10	255	275	41,86	12,56		
	600	580	610	95,21	28,56	280	300	45,96	13,79		
	650	630	660	103,42	31,02	305	325	50,07	15,02		
	700	680	710	111,62	33,49	330	350	54,17	16,25		
	750	730	760	119,83	35,95	355	375	58,27	17,48		
	800	780	810	128,04	38,41	380	400	62,38	18,71		
	850	830	860	136,25	40,87	405	425	66,48	19,94		
900	880	910	144,45	43,34	430	450	70,58	21,18			
950	930	960	152,66	45,80	455	475	74,69	22,41			
1000	980	1010	160,87	48,26	480	500	78,79	23,64			
1100	1080	1110	177,28	53,18	530	550	87,00	26,10			
1200	1180	1210	193,70	58,11	580	600	95,21	28,56			
1300	1280	1310	210,11	63,03	630	650	103,42	31,02			
1400	1380	1410	226,53	67,96	680	700	111,62	33,49			
1500	1480	1510	242,94	72,88	730	750	119,83	35,95			
15	600	580	610	109,85	32,96	280	300	53,03	15,91	65,00	42,86
	700	680	710	128,80	38,64	330	350	62,50	18,75		
	800	780	810	147,74	44,32	380	400	71,97	21,59		
	900	880	910	166,68	50,00	430	450	81,44	24,43		
	1000	980	1010	185,62	55,69	480	500	90,91	27,27		
	1200	1180	1210	223,50	67,05	580	600	109,85	32,96		
	1400	1380	1410	261,38	78,41	680	700	128,80	38,64		
	1600	1580	1610	299,26	89,78	780	800	147,74	44,32		
	1800	1780	1810	337,14	101,14	880	900	166,68	50,00		
	2000	1980	2010	375,02	112,51	980	1000	185,62	55,69		

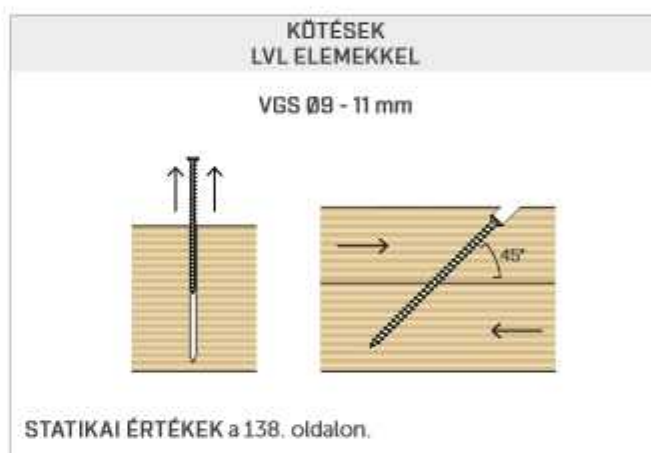
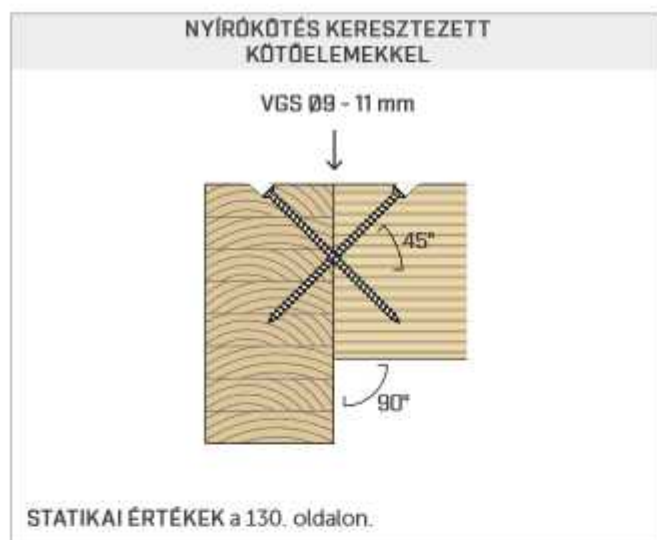
ϵ – csavar és rost közötti szög

geometria		MEGFOLYÁS								NYÍRÁS				
		fa-fa				acél-fa				acél húzóereje	fa-fa $\epsilon=90^\circ$		fa-fa $\epsilon=0^\circ$	
d_1 [mm]	L [mm]	S_g [mm]	A [mm]	B_{min} [mm]	$R_{V,K}$ [kN]	S_{PLATE} [mm]	S_g [mm]	A_{min} [mm]	$R_{V,K}$ [kN]	$R_{tens,45,K}$ [kN]	S_g [mm]	A [mm]	$R_{V,90,K}$ [kN]	$R_{V,0,K}$ [kN]
9	100	35	40	55	2,81	15	85	80	6,83	17,96	35	50	4,04	2,07
	120	45	45	60	3,62		105	95	8,44		45	60	4,53	2,30
	140	55	55	70	4,42		125	110	10,04		55	70	4,81	2,55
	160	65	60	75	5,22		145	125	11,65		65	80	5,10	2,81
	180	75	70	85	6,03		165	135	13,26		75	90	5,38	3,08
	200	85	75	90	6,83		185	150	14,87		85	100	5,67	3,18
	220	95	85	100	7,63		205	165	16,47		95	110	5,95	3,27
	240	105	90	105	8,44		225	180	18,08		105	120	6,23	3,35
	260	115	95	110	9,24		245	195	19,69		115	130	6,50	3,44
	280	125	105	120	10,04		265	205	21,29		125	140	6,50	3,52
	300	135	110	125	10,85		285	220	22,90		135	150	6,50	3,61
	320	145	120	135	11,65		305	235	24,51		145	160	6,50	3,69
	340	155	125	140	12,46		325	250	26,12		155	170	6,50	3,78
	360	165	130	145	13,26		345	265	27,72		165	180	6,50	3,86
	380	175	140	155	14,06		365	280	29,33		175	190	6,50	3,95
	400	185	145	160	14,87		385	290	30,94		185	200	6,50	4,03
	440	205	160	175	16,47		425	320	34,15		205	220	6,50	4,21
480	225	175	190	18,08	465	350	37,37	225	240	6,50	4,38			
520	245	190	205	19,69	505	375	40,58	245	260	6,50	4,55			
560	265	205	220	21,29	545	405	43,79	265	280	6,50	4,72			
600	285	215	230	22,90	585	435	47,01	285	300	6,50	4,89			
11	80	25	35	50	2,46	18	60	60	5,89	26,87	25	40	3,67	2,16
	100	35	40	55	3,44		80	75	7,86		35	50	4,72	2,69
	125	48	50	65	4,67		105	95	10,31		48	63	6,03	2,99
	150	60	60	75	5,89		130	110	12,77		60	75	6,61	3,33
	175	73	65	80	7,12		155	130	15,22		73	88	7,05	3,71
	200	85	75	90	8,35		180	145	17,68		85	100	7,48	4,10
	225	98	85	100	9,58		205	165	20,13		98	113	7,92	4,44
	250	110	95	110	10,80		230	185	22,59		110	125	8,35	4,57
	275	123	100	115	12,03		255	200	25,04		123	138	8,79	4,70
	300	135	110	125	13,26		280	220	27,50		135	150	9,06	4,83
	325	148	120	135	14,49		305	235	29,96		148	163	9,06	4,96
	350	160	130	145	15,71		330	255	32,41		160	175	9,06	5,09
	375	173	140	155	16,94		355	270	34,87		173	188	9,06	5,22
	400	185	145	160	18,17		380	290	37,32		185	200	9,06	5,35
	425	198	155	170	19,40		405	305	39,78		198	213	9,06	5,48
	450	210	165	180	20,63		430	325	42,23		210	225	9,06	5,61
	475	223	175	190	21,85		455	340	44,69		223	238	9,06	5,74
	500	235	180	195	23,08		480	360	47,14		235	250	9,06	5,87
	525	248	190	205	24,31		505	375	49,60		248	263	9,06	6,00
	550	260	200	215	25,54		530	395	52,05		260	275	9,06	6,13
	575	273	210	225	26,76		555	410	54,51		273	288	9,06	6,26
	600	285	215	230	27,99		580	430	56,96		285	300	9,06	6,39
	650	305	230	245	29,96		-	-	-		305	320	9,06	6,60
700	330	250	265	32,41	-	-	-	330	345	9,06	6,85			
750	330	250	265	32,41	-	-	-	330	345	9,06	6,85			
800	380	285	300	37,32	-	-	-	380	395	9,06	6,85			
850	405	300	315	39,78	-	-	-	405	420	9,06	6,85			
900	430	320	335	42,23	-	-	-	430	445	9,06	6,85			
950	455	335	350	44,69	-	-	-	455	470	9,06	6,85			
1000	480	355	370	47,14	-	-	-	480	495	9,06	6,85			

geometria		MEGFOLYÁS								NYÍRÁS				
		fa-fa				acél-fa				acél húzóereje	fa-fa $\epsilon=90^\circ$		fa-fa $\epsilon=0^\circ$	
d_1 [mm]	L [mm]	S_g [mm]	A [mm]	B_{min} [mm]	$R_{V,K}$ [kN]	S_{PLATE} [mm]	S_g [mm]	A_{min} [mm]	$R_{V,K}$ [kN]	$R_{tens,45,K}$ [kN]	S_g [mm]	A [mm]	$R_{V,90,K}$ [kN]	$R_{V,0,K}$ [kN]
13	80	25	35	50	2,90	20	60	60	6,96	37,48	25	40	4,18	2,44
	100	35	40	55	4,06		80	75	9,29		35	50	5,37	3,10
	150	60	60	75	6,96		130	110	15,09		60	75	8,37	4,06
	200	85	75	90	9,87		180	145	20,89		85	100	9,46	4,88
	250	110	95	110	12,77		230	185	26,70		110	125	10,49	5,77
	300	130	110	125	15,09		280	220	32,50		130	145	11,31	6,11
	350	155	125	140	17,99		330	255	38,30		155	170	11,94	6,42
	400	180	145	160	20,89		380	290	44,11		180	195	11,94	6,73
	450	205	160	175	23,79		430	325	49,91		205	220	11,94	7,04
	500	230	180	195	26,70		480	360	55,71		230	245	11,94	7,35
	550	255	195	210	29,60		530	395	61,52		255	270	11,94	7,65
	600	280	215	230	32,50		580	430	67,32		280	295	11,94	7,96
	650	305	230	245	35,40		-	-	-		305	320	11,94	8,27
	700	330	250	265	38,30		-	-	-		330	345	11,94	8,58
	750	355	265	280	41,21		-	-	-		355	370	11,94	8,88
	800	380	285	300	44,11		-	-	-		380	395	11,94	9,03
	850	405	300	315	47,01		-	-	-		405	420	11,94	9,03
	900	430	320	335	49,91		-	-	-		430	445	11,94	9,03
950	455	335	350	52,81	-	-	-	455	470	11,94	9,03			
1000	480	355	370	55,71	-	-	-	480	495	11,94	9,03			
1100	530	390	405	61,52	-	-	-	530	545	11,94	9,03			
1200	580	425	440	67,32	-	-	-	580	595	11,94	9,03			
1300	630	460	475	73,13	-	-	-	630	645	11,94	9,03			
1400	680	495	510	78,93	-	-	-	680	695	11,94	9,03			
1500	730	530	545	84,73	-	-	-	730	745	11,94	9,03			
15	600	280	215	230	37,50	-	-	-	45,96	280	295	14,53	9,47	
	700	330	250	265	44,20	-	-	-		330	345	14,53	10,18	
	800	380	285	300	50,89	-	-	-		380	395	14,53	10,89	
	900	430	320	335	57,59	-	-	-		430	445	14,53	10,99	
	1000	480	355	370	64,29	-	-	-		480	495	14,53	10,99	
	1200	580	425	440	77,68	-	-	-		580	595	14,53	10,99	
	1400	680	495	510	91,07	-	-	-		680	695	14,53	10,99	
	1600	780	565	580	104,47	-	-	-		780	795	14,53	10,99	
	1800	880	640	655	117,86	-	-	-		880	895	14,53	10,99	
	2000	980	710	725	131,25	-	-	-		980	995	14,53	10,99	

ϵ = csavar és rost közötti szög

STATIKAI ÉRTÉKEK | TOVÁBBI ALKALMAZÁSOK

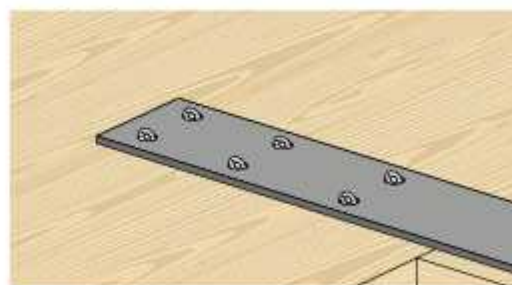


TENGELYIRÁNYÚ TERHELÉSNEK KITETT CSAVAROK HATÉKONYSÁGI SZÁMA

A több, azonos típusú és méretű csavarral készült kötés teherbíró képessége kisebb lehet, mint az egyes kötőelemek teherbíró képességének összege.

Döntött csavarokkal létrehozott kötés esetén a jellemző hatékony csúszási teherbíró képesség n db. csavarból álló sor esetén:

$$R_{ef,V,k} = n_{ef,ax} \cdot R_{V,k}$$



Az n_{ef} értékét az alábbi táblázat tartalmazza az n (csavarok száma soronként) függvényében.

n	2	3	4	5	6	7	8	9	10
$n_{ef,ax}$	1,87	2,70	3,60	4,50	5,40	6,30	7,20	8,10	9,00

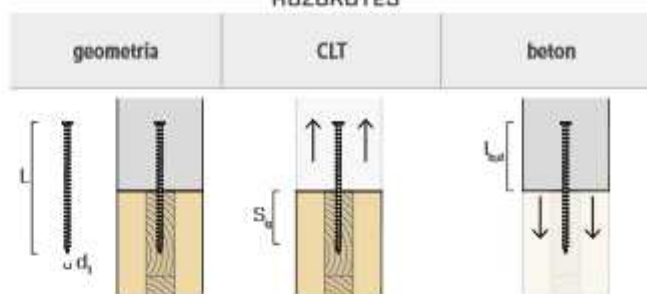
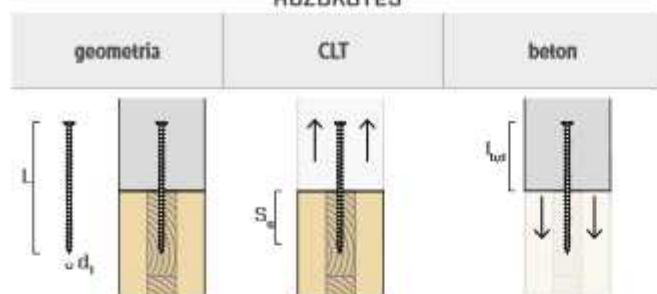


Komplett számítási jelentés faszervezetek tervezéséhez?
Töltse le a MyProject szoftvert és dolgozzon egyszerűbben!



CLT - BETON
HÚZÓKÖTÉS

CLT - BETON
HÚZÓKÖTÉS



d_1 [mm]	L [mm]	S_g [mm]	$R_{ax,0,k}$ [kN]	$l_{b,d}$ [mm]	$R_{ax,C,k}$ [kN]
9	200	85	6,32	100	35,34
	220	105	7,65	100	
	240	125	8,95	100	
	260	145	10,22	100	
	280	165	11,49	100	
	300	185	12,73	100	
	320	205	13,96	100	
	340	225	15,18	100	
	360	245	16,39	100	
	380	265	17,59	100	
	400	285	18,78	100	
	440	325	21,14	100	
	480	365	23,47	100	
	520	405	25,40	100	
	560	445	25,40	100	
	600	485	25,40	100	
	11	225	110	9,36	
250		135	11,26	100	
275		160	13,12	100	
300		185	14,95	100	
325		210	16,75	100	
350		235	18,54	100	
375		260	20,31	100	
400		285	22,05	100	
425		310	23,79	100	
450		335	25,51	100	
475		360	27,22	100	
500		385	28,91	100	
525		410	30,59	100	
550		435	32,27	100	
575		460	33,93	100	
600		485	35,59	100	
650		535	38,00	100	
700	585	38,00	100		
750	635	38,00	100		
800	685	38,00	100		
850	735	38,00	100		
900	785	38,00	100		
950	835	38,00	100		
1000	885	38,00	100		

d_1 [mm]	L [mm]	S_g [mm]	$R_{ax,0,k}$ [kN]	$l_{b,d}$ [mm]	$R_{ax,C,k}$ [kN]
13	300	165	15,41	120	61,26
	350	215	19,56	120	
	400	265	23,61	120	
	450	315	27,58	120	
	500	365	31,50	120	
	550	415	35,35	120	
	600	465	39,16	120	
	650	515	42,93	120	
	700	565	46,67	120	
	750	615	50,37	120	
	800	665	53,00	120	
	850	715	53,00	120	
	900	765	53,00	120	
	950	815	53,00	120	
	1000	865	53,00	120	
	1100	965	53,00	120	
	1200	1065	53,00	120	
1300	1165	53,00	120		
1400	1265	53,00	120		
1500	1365	53,00	120		

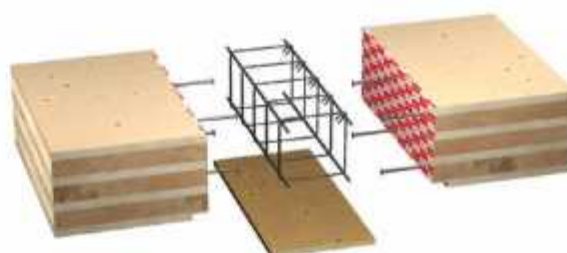
MEGJEGYZÉSEK és ÁLTALÁNDÓS ELVEK a 176. oldalon.

TC FUSION

FA-BETON
KÖTÉSI RENDSZER

A végigmenetes VGS, VGZ és RTR kötőelemek újítása a fa-beton alkalmazásokhoz.

Fedezze fel a következő oldalon: 270



STATIKAI ÉRTÉKEK

ÁLTALÁNOS ELVEK

- A jellemző értékek EN 1995:2014 szerint ETA-11/0030 -nak megfelelően.
- A kötőelem terv szerinti húzószilárdsága a minimum a fa oldali terv szerinti ellenállás ($R_{ax,d}$) és az acél oldali terv szerinti ellenállás ($R_{tens,d}$) között:

$$R_{ax,d} = \min \left\{ \begin{array}{l} \frac{R_{ax,k} \cdot k_{mod}}{Y_M} \\ \frac{R_{tens,k}}{Y_{M2}} \end{array} \right.$$

- A csatlakozó terv szerinti összenyomási ellenállása a minimum a fa oldali terv szerinti ellenállás ($R_{ax,d}$) és az instabilitás terv szerinti ellenállása ($R_{li,d}$) között:

$$R_{ax,d} = \min \left\{ \begin{array}{l} \frac{R_{ax,k} \cdot k_{mod}}{Y_M} \\ \frac{R_{li,k}}{Y_{M1}} \end{array} \right.$$

- A kötőelem terv szerinti csúszási ellenállása a minimális a fa oldali terv szerinti ellenállás ($R_{V,d}$) és az acél oldali terv szerinti ellenállás ($R_{tens,45,d}$) között:

$$R_{V,d} = \min \left\{ \begin{array}{l} \frac{R_{V,k} \cdot k_{mod}}{Y_M} \\ \frac{R_{tens,45,k}}{Y_{M2}} \end{array} \right.$$

- A kötőelem tervezett nyíróellenállását a jellemző értékekből kapjuk meg az alábbiak szerint:

$$R_{V,d} = \frac{R_{V,k} \cdot k_{mod}}{Y_M}$$

- Az Y_M és k_{mod} együtthatókat a számításához használt érvényben lévő jogi szabályozás szerint kell venni.
- A mechanikai ellenállási értékekre és a csavarok geometriájára hivatkozás az ETA-11/0030 szerint.
- A faelemek méretezését és ellenőrzését külön kell elvégezni.
- A csavarokat a minimális távolságok betartásával kell elhelyezni.
- A menet jellemző extrakciós ellenállásának meghatározása $S_{g,tot}$ vagy S_g bevezetési hosszúsággal történt, a táblázat szerint. Az S_g közbelső értékeire lineárisan interpolálhatunk.
- A nyírási és csúszási ellenállási értékek úgy lettek számolva, hogy a kötőelem súlypontját a nyírási síknak megfelelően pozicionáltuk.
- A jellemző nyírószilárdsági értékeket előfurat nélkül becsavart csavarok esetében adtuk meg, ha a csavarokat előfurattal csavarják be, akkor nagyobb szilárdsági értékek érhetőek el.
- A táblázatban szereplő értékek meghatározásához figyelembe vett VGS Ø15 csavarok mechanikai ellenállási paramétereit analitikai módszerrel kaptuk és kísérleti vizsgálatokkal validáltuk.
- A különböző kalkulációk konfigurálásához elérhető a MyProject szoftver (www.rothoblaas.com).

MEGJEGYZÉS | FA

- A menet jellemző extrakciós ellenállásainak megállapításához egy 90°-os ($R_{ax,90,k}$) és egy 0°-os ($R_{ax,0,k}$) é szöget vettünk figyelembe a faelem rostjai és a kötőelem között.
- A jellemző csúszási ellenállások megállapításához egy 45°-os é szöget vettünk figyelembe a faelem rostjai és a kötőelem között.
- A lemezek vastagsága ($S_{pl,ATF}$) a minimális érték, amely lehetővé teszi a csavar súllyeszett fejének beillesztését.
- A fa-fa jellemző nyírószilárdságának megállapításához egy 90°-os ($R_{V,90,k}$) és egy 0°-os ($R_{V,0,k}$) é szöget vettünk figyelembe a második elem rostjai és a kötőelem között.
- A kalkulációs fázisban a faelemek $\rho_k = 385 \text{ kg/m}^3$ sűrűségével számoltunk. Az eltérő ρ_k értékek esetén a táblázatban felsorolt ellenállásokat (extrakció, összenyomás, csúszás és nyírás) a k_{dens} együttható segítségével lehet átváltani.

$$R'_{ax,k} = k_{dens,ax} \cdot R_{ax,k}$$

$$R'_{li,k} = k_{dens,li} \cdot R_{li,k}$$

$$R'_{V,k} = k_{dens,ax} \cdot R_{V,k}$$

$$R'_{V,90,k} = k_{dens,v} \cdot R_{V,90,k}$$

$$R'_{V,0,k} = k_{dens,v} \cdot R_{V,0,k}$$

ρ_k (kg/m ³)	350	380	385	405	425	430	440
C-GL	C24	C30	GL24h	GL26h	GL28h	GL30h	GL32h
$k_{dens,ax}$	0,92	0,98	1,00	1,04	1,08	1,09	1,11
$k_{dens,li}$	0,97	0,99	1,00	1,00	1,01	1,02	1,02
$k_{dens,v}$	0,90	0,98	1,00	1,02	1,05	1,05	1,07

Az így meghatározott ellenállási értékek – a biztonság érdekében – eltérhetnek a pontos számításból adódó értékektől.

MEGJEGYZÉS | TC FUSION

- A jellemző értékek az ETA-22/0806 -nak megfelelően vannak kiszámítva.
- A menet tengelyirányú extrakciós ellenállása narrow face-nél a CLT $t_{CLT,min} = 10 \cdot d_1$ minimális vastagsága és a csavar $t_{pen} = 10 \cdot d_1$ minimális behatolási mélysége esetén érvényes.
- A táblázatban megadottnál rövidebb értékek nem felelnek meg a minimális bevezetési mélységre vonatkozó előírásoknak és nincsenek feltüntetve.
- A számítási folyamat során C25/30 osztályú betont vettünk figyelembe. Más anyagokkal való használat esetén lásd az ETA-22/0806 szabványt.
- A kötőelem terv szerinti húzószilárdsága a minimum a fa oldali terv szerinti ellenállás ($R_{ax,d}$) és a beton oldali terv szerinti ellenállás ($R_{tens,d}$) között.

$$R_{ax,d} = \min \left\{ \begin{array}{l} \frac{R_{ax,k} \cdot k_{mod}}{Y_M} \\ \frac{R_{ax,c,k}}{Y_{M,concrete}} \end{array} \right.$$

- A beton elemnek megfelelő acélbetétekkel kell rendelkeznie.
- A kötőelemeket legfeljebb 300 mm-es távolságra kell elhelyezni.

KAPCSOLÓDÓ TERMÉKEK



JIG VGU
old. 409



LEWIS
old. 414



CATCH
old. 408



TORQUE LIMITER
old. 408



B 13 B
old. 405

HOSSZÚ CSAVAROK



A CATCH-nak köszönhetően még a leghosszabb csavarok is gyorsan és biztonságosan behajthatók, anélkül, hogy a bit kicsúszna. Kombinálható a TORQUE LIMITER-rel.

VGS + VGU



A JIG VGU fúrósablon egyszerűvé teszi a 45° - os dőléssel végzett előfurat készítését, ez az alátétben a VGS csavarok behajtását könnyíti meg. Javasoljuk legalább 20 mm előfurat készítését.



A forgatónyomaték ellenőrzésének biztosításához a megfelelő típusú TORQUE LIMITER-t kell használni a kiválasztott kötőelemtől függően.

VGS + WASPL

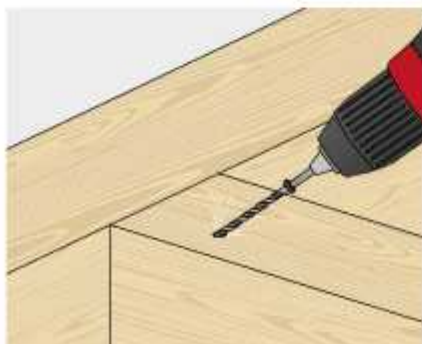


Helyezze be a csavart úgy, hogy a feje 15 mm-re kiálljon, és akassza be a WASPL kampót.

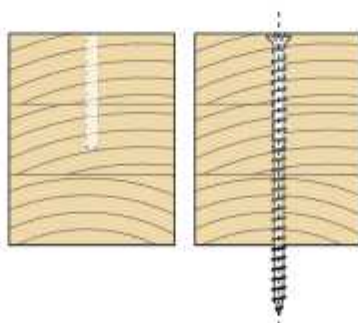


Az emelés után a WASPL kampó gyorsan és könnyen lekapcsolható és készen áll az újbóli használatra.

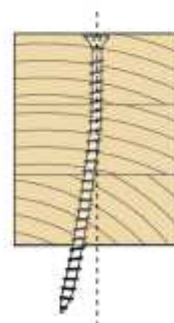
A VEZETŐFURAT FONTOSSÁGA.



vezetőfurat



behelyezés vezetőfurattal



behelyezés vezetőfurat nélkül

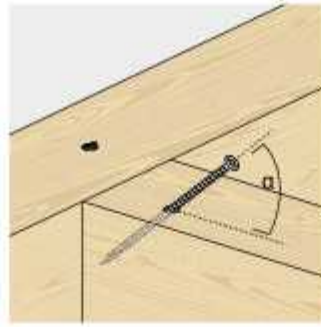
A csavarok a becsavarási iránytól való eltérése gyakran előfordul a szerelés során.

Ez a jelenség magának a fa egyenetlen és nem homogén anyagával függ össze, pl. a csomók jelenléte vagy a rostiránytól függő fizikai tulajdonságok miatt. A szerelő szakértelme is fontos szerepet játszik.

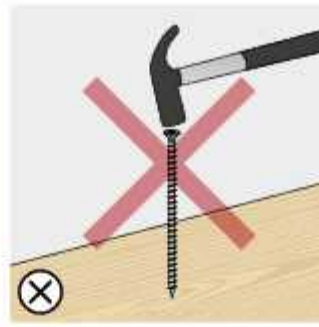
A vezetőfurat használata megkönnyíti a csavarok, különösen a hosszú csavarok behelyezését, mivel nagyon pontos behelyezési irányt tesz lehetővé.



A fa-fa (softwood) szerkezeti kötések szereléséhez használt csavarok esetében ütvecsavarozó is alkalmazható.

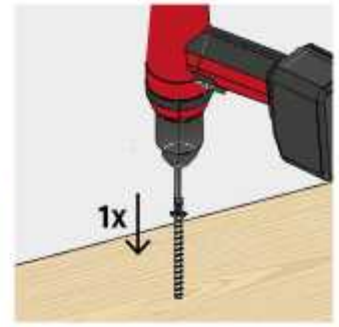


Tartsa be a behelyezési szöget egy vezetőfurat és/vagy sablon alkalmazásával.



Ne kalapálja a csavarokat a hegynek a fába való beillesztéséhez.

A csavar nem használható fel újra.

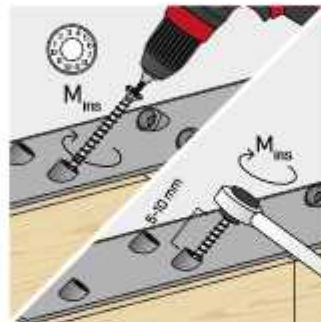


Általában ajánlatos a kötőelemet egy művelettel behelyezni, megállások és újraindulások nélkül, amelyek túlterhelhetik a csavart.

ACÉL-FA ALKALMAZÁS

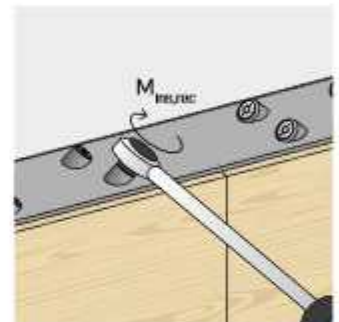


Nem megengedett az ütvecsavarozó használata.

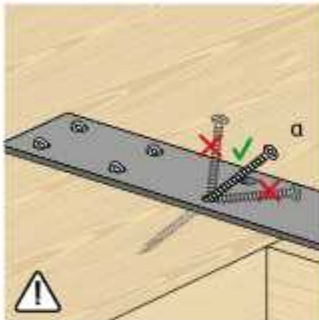


Biztosítsa a megfelelő meghúzást. Ajánlott a forgatónyomaték ellenőrzését biztosító csavarozó használata, például TORQUE LIMITER. Alternatív megoldásként húzza meg nyomatékkulccsal.

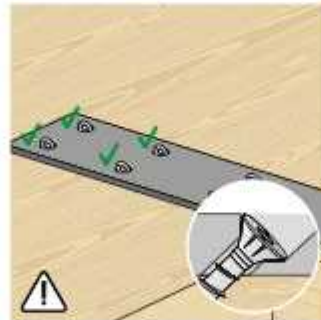
VGS	d ₁ [mm]	M _{ins.rec} [Nm]
Ø9	9	20
Ø11 L < 400 mm	11	30
Ø11 L ≥ 400 mm	11	40
Ø13	13	50



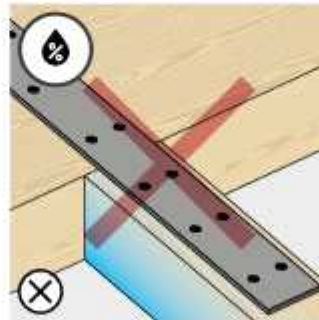
A beszerelés után a rögzítő elemeket nyomatékkulcs segítségével lehet ellenőrizni.



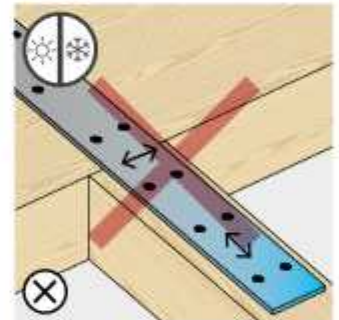
Kerülje a hajlítást.



A szerelést úgy kell kivitelezni, hogy a terhelések egyenletesen legyenek elosztva az összes csavaron.



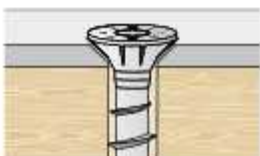
Kerülje a faelemeknek a páratartalom változása miatti zsugorodását vagy duzzadását.



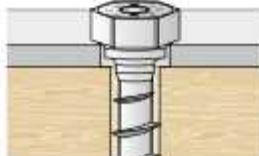
Kerülje a fém méretváltozásait, pl. a nagy hőmérséklet-ingadozás miatt.

PROFILOZOTT LEMEZ

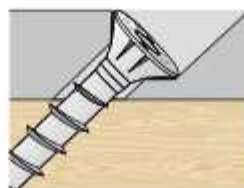
ALÁTÉTEK



Süllyesztett furat.



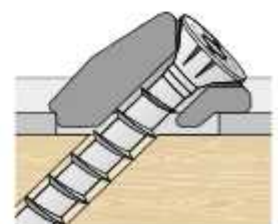
Hengeres furat.



Süllyesztett döntött furat.

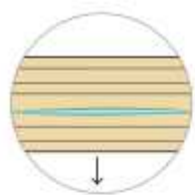


Hengeres furat HUS süllyesztett alátéttel.

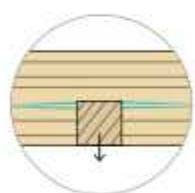
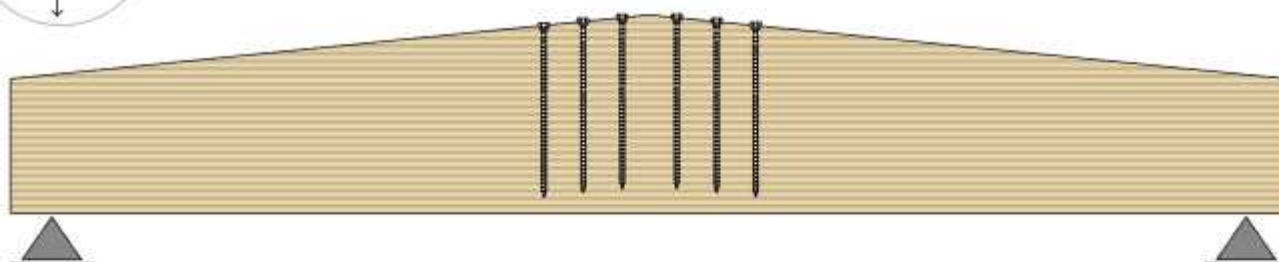


Fémkarikás furat VGU alátéttel.

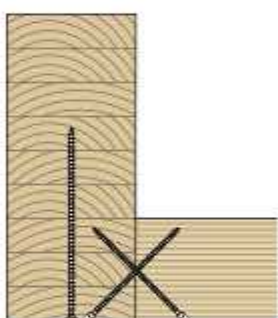
ALKALMAZÁSI PÉLDÁK: ERŐSÍTÉSEK



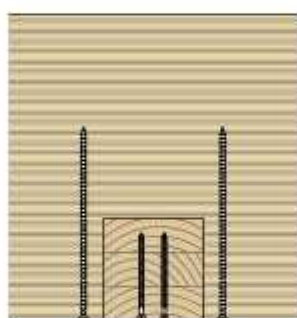
KÜPOS GERENDA
rostra merőleges szakítócsúcs megerősítése



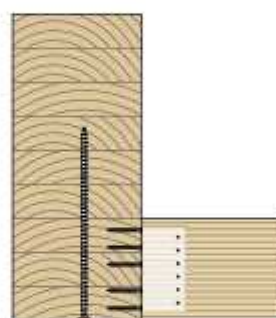
FÜGGESZTETT TEHER
rostokra merőleges szakítás erősítése



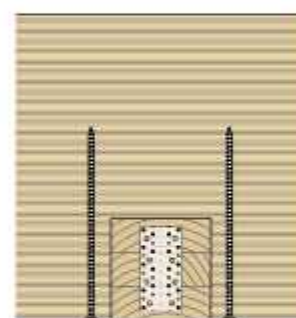
metszet



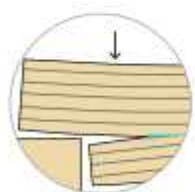
perspektívikus ábra



metszet



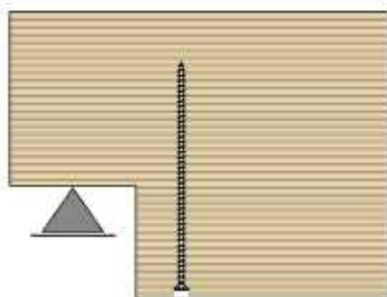
perspektívikus ábra



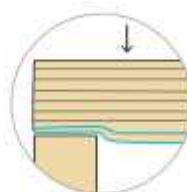
BEMETSZÉS
rostokra merőleges szakítás erősítése



felülnézeti ábra



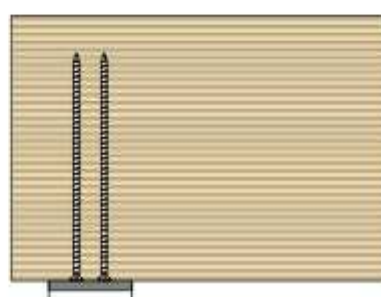
metszet



LETERHELÉS
rostokra merőleges összenyomás erősítése



felülnézeti ábra



metszet